

01

Расчёт рефлектометрических характеристик с учетом профильной неоднородности переходного слоя

© В.В. Шагаев

Московский государственный технический университет им. Н.Э. Баумана, Калужский филиал,
248000 Калуга, Россия
e-mail: shagaev_vv@rambler.ru

(Поступило в Редакцию 30 октября 2014 г.)

Рассмотрена задача о влиянии переходного слоя с малой фазовой толщиной на результаты рефлектометрических исследований. Методом теории возмущений получены выражения для коэффициентов отражения электромагнитных волн с p - и s -поляризацией. Выполнен анализ логарифмической производной от коэффициента отражения по углу для волны с p -поляризацией. Показано, что вблизи угла Брюстера производная имеет ярко выраженные особенности, связанные с электродинамическими параметрами переходного слоя. Представлены результаты расчетов для диффузионных слоев.

Введение

В настоящей работе предложен метод расчета коэффициента отражения электромагнитной волны от границы раздела двух сред с произвольным законом изменения диэлектрической проницаемости в тонком приграничном слое.

Если изменение диэлектрической проницаемости между двумя средами происходит скачком, то амплитуды отраженной и преломленной волн могут быть вычислены на основе формул Френеля. Исследованию поправок к формулам посвящено множество работ. Впервые такие поправки были выведены для модели „однородная подложка — однородный слой“ (модель Друде). Особый интерес представляет отражение волны, поляризованной в плоскости падения (p -поляризация) и падающей на подложку под углом Брюстера. В этих условиях отражение возникает только при наличии переходного слоя и характеризуется малыми значениями коэффициента отражения. Современные экспериментальные методы позволяют измерить значения коэффициента порядка $10^{-2} - 10^{-3}$ с точностью до 1%. Данное обстоятельство, в частности, используется для контроля тонкопленочных структур.

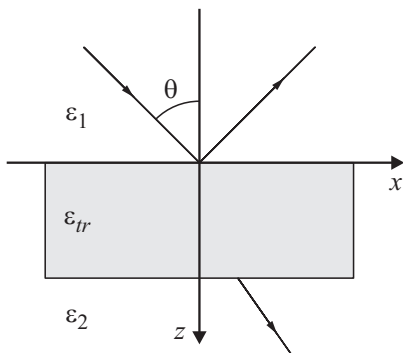


Рис. 1. Схема отражения и выбор направлений координатных осей.

Если переходной слой является однородным, то амплитудный коэффициент отражения может быть выражен через коэффициенты отражения от полубесконечных сред r_{1tr} и r_{tr2} (коэффициенты Френеля)

$$r = \frac{r_{1tr} + r_{tr2} \exp(-2i\psi)}{1 + r_{1tr}r_{tr2} \exp(-2i\psi)}. \quad (1)$$

Индексы „1“, „2“ и „tr“ здесь и далее будут обозначать соответственно внешнюю среду, подложку и переходной слой, ψ — фазовая толщина переходного слоя. Для обсуждаемой p -поляризации параметры отражения можно рассчитать по формулам

$$r_{1tr} = \frac{p_1 - p_{tr}}{p_1 + p_{tr}}, \quad r_{tr2} = \frac{p_{tr} - p_2}{p_{tr} + p_2},$$

$$p_1 = \frac{\omega}{c} \cdot \frac{\cos \theta}{\sqrt{\epsilon_1}}, \quad p_2 = \frac{\omega}{c} \cdot \frac{\sqrt{\epsilon_2 - \epsilon_1 \sin^2 \theta}}{\epsilon_2},$$

$$p_{tr} = \frac{\omega}{c} \cdot \frac{\sqrt{\epsilon_{tr} - \epsilon_1 \sin^2 \theta}}{\epsilon_{tr}},$$

$$\psi = p_{tr} \epsilon_{tr} d,$$

где ω — круговая частота монохроматической плоской электромагнитной волны, c — скорость света в вакууме, θ — угол падения волны на границу раздела сред (рис. 1), ϵ_1 , ϵ_2 , ϵ_{tr} — комплексные диэлектрические проницаемости внешней среды, подложки и переходного слоя соответственно, d — толщина слоя.

В случае прозрачных сред и тонкого переходного слоя, когда ϵ_1 , ϵ_2 , ϵ_{tr} — действительные числа и $\psi^2 \ll 1$, формулу (1) можно разложить в степенной ряд по малому параметру ψ . Тогда в квадратичном приближении выражение для коэффициента отражения после всех подстановок и простых алгебраических преобразований примет вид

$$R_p = |r|^2 = \left(\frac{p_1 - p_2}{p_1 + p_2} \right)^2 + \frac{4\epsilon_{tr}^2 d^2 p_1 p_2 (p_{tr}^2 - p_1^2)(p_{tr}^2 - p_2^2)}{(p_1 + p_2)^4}. \quad (2)$$

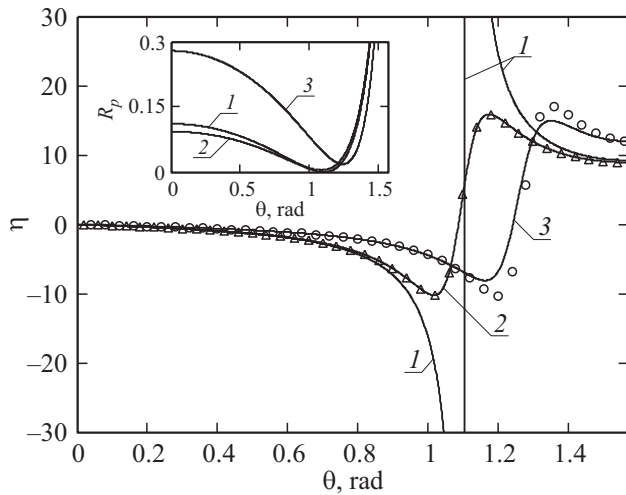


Рис. 2. Функции $\eta(\theta)$ (сплошные линии) и функции $R_p(\theta)$ (на вставке с соответствующими номерами). Расчет выполнен для однородного переходного слоя на основе точной формулы (1). Точки, обозначенные символами, рассчитаны на основе приближенного выражения (2). Значения диэлектрических постоянных: $\epsilon_1 = 1$, $\epsilon_2 = 4(1 - i \operatorname{tg} \delta)$ — для всех данных, $\epsilon_{tr} = 2(1 - i \operatorname{tg} \delta)$ — график 2 и треугольники, $\epsilon_{tr} = 8(1 - i \operatorname{tg} \delta)$ — график 3 и кружочки. При этом $\operatorname{tg} \delta = 0.01$ для кривых и $\operatorname{tg} \delta = 0$ для символов. Толщина переходного слоя: $d = 0$ — 1 (граница среды без переходного слоя), $d/\lambda = 0.05$ — 2, 3 и символы.

Равенство $p_1 = p_2$ соответствует отражению под углом Брюстера (θ_B), и из него следует известное соотношение $\operatorname{tg} \theta_B = \sqrt{\epsilon_2/\epsilon_1}$.

Анализ формулы (2) показывает, что существенную роль в отражении вблизи угла Брюстера играет второе слагаемое. Оно отлично от нуля, когда $d \neq 0$, и именно оно учитывает переходной слой. При этом зависимость $R_p(\theta)$ имеет минимум с маленьким значением. В работе [1] было предложено использовать характеристику отражения в виде логарифмической производной

$$\eta(\theta) = \frac{1}{R_p(\theta)} \frac{dR_p(\theta)}{d\theta}. \quad (3)$$

Функция $\eta(\theta)$ вблизи угла Брюстера в отличие от $R_p(\theta)$ имеет и минимум, и максимум. Кроме того, зависимость $\eta(\theta)$ может быть построена по значениям коэффициента отражения, выраженного в относительных единицах. Это обстоятельство, в частности, упрощает проведение соответствующих экспериментальных исследований, так как в измерениях можно не учитывать изменения интенсивности зондирующего излучения, а также отражений от входных и выходных окон элементов измерительной системы.

На рис. 2 приведены результаты расчетов, выполненных по формулам (1)–(3). Видно, что функция $\eta(\theta)$ обладает высокой чувствительностью к толщине и к диэлектрической проницаемости переходного слоя. При этом значения толщины могут быть существенно мень-

ше, чем длина зондирующей электромагнитной волны. Численный анализ показал, что точная формула может быть заменена приближенной при выполнении двух неравенств — одно ограничивает значения тангенса угла диэлектрических потерь ($\operatorname{tg} \delta$), другое — фазовую толщину слоя. Неравенства имеют вид $\operatorname{tg} \delta \leq 0.01$ и $p_{tr} \epsilon_{tr} d < 1$. В случае, когда внешняя среда является вакуумом ($\epsilon_1 = 1$), последнее неравенство после подстановки максимального значения функции $p_{tr}(\theta)$ принимает вид $2\pi d \sqrt{\epsilon_{tr}}/\lambda$ (где $\lambda = 2\pi c/\omega$ — длина зондирующей волны). Отмеченные аспекты модели Друде будут важны и при рассмотрении неоднородного слоя.

Что касается отражения от неоднородной среды, то точные аналитические решения удается получить лишь в отдельных случаях [2,3]. Для произвольного профиля диэлектрической проницаемости на первый план выходят численные методы. Один из широко используемых методов основан на разбиении неоднородной среды на тонкие однородные слои [4]. Число слоев зависит от профиля диэлектрической проницаемости, а коэффициент отражения рассчитывается по рекуррентной формуле, выраженной через коэффициенты Френеля.

В настоящей работе использован аналитический подход, основанный на уравнениях электродинамики и теории возмущений. При этом был выделен малый параметр, аналогичный фазовой толщине слоя в модели Друде, и во втором порядке теории возмущений получено выражение для коэффициента отражения.

Вывод расчетных соотношений

Рассмотрим распространение электромагнитной волны в неоднородной и непоглощающей среде, характеризующейся зависимостью диэлектрической проницаемости ϵ от координаты z . Причем при $z \rightarrow \pm\infty$ функция $\epsilon(z)$ стремится к постоянным значениям $\epsilon_1 = \epsilon(-\infty)$ и $\epsilon_2 = \epsilon(+\infty)$. Магнитную проницаемость везде полагаем равной единице. Напряженность магнитного поля волны с p -поляризацией будем описывать выражением

$$H = \begin{bmatrix} 0 \\ h(z) \\ 0 \end{bmatrix} \cdot \exp i(\omega t - kx),$$

где k_x — x -компонента волнового вектора и $k_x = (\omega \sqrt{\epsilon_1} \sin \theta)/c$. Из уравнений Максвелла следует дифференциальное уравнение

$$\frac{1}{\epsilon(z)} \frac{\partial}{\partial z} \left[\frac{1}{\epsilon(z)} \frac{\partial h(z)}{\partial z} \right] + p^2(z)h(z) = 0, \quad (4)$$

где

$$p^2(z) = \frac{1}{\epsilon^2(z)} \left[\frac{\omega^2}{c^2} \epsilon(z) - k_x^2 \right]. \quad (5)$$

Решение уравнения (4) ищем в виде

$$h(z) = A(z) \exp[-i\varphi(z)] + B(z) \exp[i\varphi(z)], \quad (6)$$

где

$$\varphi(z) = \int_0^z p(z')\varepsilon(z')dz'. \quad (7)$$

На бесконечном удалении от переходного слоя значения $A(-\infty)$, $A(+\infty)$ и $B(-\infty)$ являются амплитудами падающей, прошедшей и отраженной волн соответственно.

Так как вместо одной искомой функции $h(z)$ были введены две — $A(z)$ и $B(z)$, то на них можно наложить дополнительное условие. Пусть этим условием будет уравнение

$$\frac{dA(z)}{dz} \exp[-i\varphi(z)] + \frac{dB(z)}{dz} \exp[i\varphi(z)] = 0. \quad (8)$$

Введем в рассмотрение функцию

$$V(z) = \frac{B(z)}{A(z)} \exp[2i\varphi(z)].$$

Тогда коэффициент отражения волны связан с $V(z)$ равенством

$$R_p = |V(-\infty)|^2. \quad (9)$$

Из уравнений (4), (6) и (8) следует уравнение

$$\frac{d[V \exp(-2i\varphi)]}{dz} = \frac{1}{2p} \frac{dp}{dz} (1 - V^2) \exp(-2i\varphi) \quad (10)$$

(зависимость функций от z для краткости записи не указана). Граничное условие для $V(z)$ может быть получено из физического ограничения, накладываемого на амплитуду отраженной волны: $B(+\infty) = 0$. Тогда

$$V(+\infty) = 0. \quad (11)$$

Таким образом, коэффициент отражения от границы раздела сред с неоднородным переходным слоем может быть рассчитан из дифференциального уравнения (10) с граничным условием (11) и из формулы (9).

Уравнение (10) в общем случае не имеет аналитического решения. Однако могут быть использованы приближенные методы. Отметим следующую особенность уравнения. Его правая часть при $z \rightarrow \pm\infty$ стремится к нулю, так как $\varepsilon(z)$ стремится к постоянным значениям и, согласно (5), $dp(z)/dz \rightarrow 0$. Будем рассматривать такие профили $\varepsilon(z)$, которые характеризуются резким изменением от одного асимптотического значения $\varepsilon_1 = \varepsilon(-\infty)$ к другому $\varepsilon_2 = \varepsilon(+\infty)$ в некоторой конечной области. Обозначим размер этой области как d . Координату $z = 0$ для удобства расположим внутри области. Тогда производная $dp(z)/dz$ будет иметь наибольшие значения вблизи $z = 0$. В этом случае для расчета коэффициента отражения можно использовать приближенное решение уравнения (10), построенное внутри интервала $\Delta z \sim d$.

Пусть d настолько мало, что выполняется неравенство

$$d \max\{p(z)\varepsilon(z)\} \ll 1. \quad (12)$$

Тогда для значений z , лежащих в интервале $\Delta z \sim d$, функция $\varphi(z)$ будет мала, и в уравнении (10) функцию $\exp(-2i\varphi)$ можно аппроксимировать степенным рядом, ограничившись несколькими первыми членами. Решение уравнения можно построить тоже в виде ряда, члены которого соответствуют учитываемым степеням $\varphi(z)$. Вместе с тем при больших значениях z интеграл в выражении (7) может привести к линейному росту зависимости $\varphi(z)$. При этом для профилей $\varepsilon(z)$, стремящихся к асимптотическим значениям не медленнее, чем экспоненциально, интегрирование правой части уравнения (10), представленной в виде ряда, приводит к конечным значениям каждого члена ряда даже в случае бесконечных пределов интегрирования. Такая особенность уравнения возникает благодаря производной dp/dz [5]. Это позволяет в окончательных выражениях заменить интегрирование по интервалу $\Delta z \sim d$ интегрированием по бесконечному интервалу. Поэтому в дальнейшем ограничимся рассмотрением профилей $\varepsilon(z)$, стремящихся к постоянным асимптотикам, по крайней мере экспоненциально.

Неравенство (12), по сути, выражает условие малости фазовой толщины переходного слоя. Аналогичное условие было рассмотрено выше при выводе приближенного выражения для коэффициента отражения в модели Друде. Очевидно, что выражение (2) должно быть частным случаем приближенного решения уравнения (10), полученного для однородного слоя во втором порядке теории возмущений.

Порядок используемого приближения будем обозначать нижним индексом и для удобства в поправках нечетного порядка введем множитель $i = \sqrt{-1}$ (чтобы избежать появления мнимых функций). Тогда во втором порядке теории возмущений имеем

$$V(z) = V_0(z) + iV_1(z) + V_2(z). \quad (13)$$

В нулевом приближении полагаем $\exp[-2i\varphi(z)] \approx 1$ и уравнение (10) с граничным условием (11) приобретает вид

$$\frac{dV_0}{dz} = \frac{1}{2p} \frac{dp}{dz} (1 - V_0^2), \quad V_0(+\infty) = 0. \quad (14)$$

Уравнение легко решается

$$V_0(z) = \frac{p(z) - p(+\infty)}{p(z) + p(+\infty)}. \quad (15)$$

В первом приближении $\exp[-2i\varphi(z)] \approx 1 - 2i\varphi(z)$ и для поправки $V_1(z)$ получим уравнение

$$\frac{dV_1}{dz} = -\frac{1}{p} \frac{dp}{dz} V_0 V_1 + 2p\varepsilon V_0, \quad V_1(+\infty) = 0. \quad (16)$$

Решение можно найти методом вариации постоянных

$$V_1(z) = -2 [1 - V_0^2(z)] \int_z^{+\infty} \frac{V_0(z')p(z')\varepsilon(z')}{1 - V_0^2(z')} dz'. \quad (17)$$

Во втором приближении $\exp[-2i\varphi(z)] \approx 1 - 2i\varphi(z) - 2\varphi^2(z)$ и соответствующая поправка определяется уравнением

$$\frac{dV_2}{dz} = \frac{1}{2p} \frac{dp}{dz} (V_1^2 - 2V_0V_2) - 2V_1p\varepsilon, \quad V_2(+\infty) = 0. \quad (18)$$

Решение также можно найти методом вариации постоянных (функции под знаками интегралов для простоты записи указаны без аргументов)

$$V_2(z) = 4 \left[1 - V_0^2(z) \right] \times \left[2V_0(z) \int_z^{+\infty} \frac{V_0 p \varepsilon I}{1 - V_0^2} dz' - \int_z^{+\infty} \frac{1 + V_0^2}{1 - V_0^2} p \varepsilon I dz' \right], \quad (19)$$

где I обозначает функцию

$$I(z') = \int_{z'}^{+\infty} \frac{V_0(z'') p(z'') \varepsilon(z'')}{1 - V_0^2(z'')} dz''.$$

В уравнении (18) была использована подстановка выражения (17). При этом квадрат $V_1^2(z)$ был преобразован с помощью математического равенства

$$\left[\int_z^{+\infty} f(z') dz' \right]^2 = 2 \int_z^{+\infty} f(z') \left[\int_{z'}^{+\infty} f(z'') dz'' \right] dz', \quad (20)$$

где $f(z)$ — произвольная функция с граничным значением $f(+\infty) = 0$. Равенство легко доказывается. Обе его части являются решением одного и того же дифференциального уравнения первого порядка с одним и тем же граничным условием. Значит, по теореме единственности оба решения должны быть одной и той же функцией, но представленной в разных видах.

Целью расчета является коэффициент отражения $R_p = |V(-\infty)|^2$. В непоглощающей среде функции $\varepsilon(z)$, $V_0(z)$, $V_1(z)$, $V_2(z)$ имеют только действительные значения. Тогда, используя формулу (13) и ограничиваясь поправками второго порядка, получим

$$R_p = V_0^2(-\infty) + V_1^2(-\infty) + 2V_0(-\infty)V_2(-\infty). \quad (21)$$

Подстановки выражений (15), (17) и (19) и преобразование $V_1^2(-\infty)$ с помощью равенства (20) позволяют получить расчетную формулу

$$R_p = \left(\frac{p_1 - p_2}{p_1 + p_2} \right)^2 + \frac{8p_1p_2}{(p_1 + p_2)^4} \int_{-\infty}^{+\infty} [p^2(z) - p_1^2] \times \left\{ \int_z^{+\infty} [p^2(z') - p_2^2] \varepsilon(z') dz' \right\} \varepsilon(z) dz \quad (22)$$

где $p_1 = p(-\infty)$ и $p_2 = p(+\infty)$. Функция $p(z)$ связана с $\varepsilon(z)$ формулой (5).

Таким образом, соотношение (22) в аналитическом виде выражает коэффициент отражения электромагнитной волны с p -поляризацией. При этом профиль диэлектрической проницаемости задан зависимостью общего вида $\varepsilon(z)$ с двумя ограничениями. Одно предполагает отсутствие поглощения в среде, и поэтому $\varepsilon(z)$ может принимать только действительные значения. Другое — выражается неравенством (12).

Для полноты изложения кратко рассмотрим отражение волны с s -поляризацией. В этом случае удобным для расчета будет вектор напряженности электрического поля волны

$$E = \begin{bmatrix} 0 \\ e(z) \\ 0 \end{bmatrix} \cdot \exp i(\omega t - k_x x).$$

Компонента $e(z)$ может быть найдена из электродинамического уравнения

$$\frac{d^2 e(z)}{dz^2} + \kappa^2(z) e(z) = 0, \quad (23)$$

где

$$\kappa^2(z) = \frac{\omega^2}{c^2} \varepsilon(z) - k_x^2. \quad (24)$$

Приближенное решение уравнения (23) можно найти тем же методом, что и решение уравнения (4). Проще, однако, воспользоваться уже полученным результатом. Отметим, что уравнение (4) можно преобразовать в уравнение (23), если произвести замены $h(z) \rightarrow e(z)$, $\varepsilon(z) dz \rightarrow dz$, $p(z) \rightarrow \kappa(z)$. Тогда, выполнив такие же замены в соотношении (22), получим выражение для коэффициента отражения

$$R_s = \left(\frac{\kappa_1 - \kappa_2}{\kappa_1 + \kappa_2} \right)^2 + \frac{8\kappa_1\kappa_2}{(\kappa_1 + \kappa_2)^4} \int_{-\infty}^{+\infty} [\kappa^2(z) - \kappa_1^2] \times \left\{ \int_z^{+\infty} [\kappa^2(z') - \kappa_2^2] dz' \right\} dz, \quad (25)$$

где $\kappa_1 = \kappa(-\infty)$ и $\kappa_2 = \kappa(+\infty)$. Формулы (24), (25) решают задачу по расчету коэффициента отражения s -поляризованной волны.

Частные случаи

При нормальном падении волны на границу раздела формулы (22) и (25) должны совпадать. Убедимся в этом. Для этого используем подстановки $k_x = 0$, $p(z) = \omega/[c\sqrt{\varepsilon(z)}]$, $\kappa(z) = \omega\sqrt{\varepsilon(z)}/c$. В результате обе

формулы сводятся к выражению

$$R_{\perp} = \left(\frac{\sqrt{\varepsilon_2} - \sqrt{\varepsilon_1}}{\sqrt{\varepsilon_1} + \sqrt{\varepsilon_2}} \right)^2 + \frac{8(\omega/c)^2 \sqrt{\varepsilon_1} \sqrt{\varepsilon_2}}{(\sqrt{\varepsilon_1} + \sqrt{\varepsilon_2})^4} \times \int_{-\infty}^{+\infty} [\varepsilon(z) - \varepsilon_1] \left\{ \int_z^{+\infty} [\varepsilon(z') - \varepsilon_2] dz' \right\} dz. \quad (26)$$

В другом частном случае, когда переходной слой однороден, расчет по формуле (22) должен привести к формуле (2). Для однородного слоя, расположенного в интервале $0 \leq z \leq d$, подынтегральные выражения в формуле (22) имеют следующие значения: $p^2(z) - p_1^2 = 0$ при $z < 0$, $p^2(z) - p_2^2 = 0$ при $z > d$, $p(z) = p_{tr}$ и $\varepsilon(z) = \varepsilon_{tr}$ при $0 \leq z \leq d$. Расчет интегралов приводит к выражению (2).

Интересен также случай отражения волны с p -поляризацией при падении под углом Брюстера, рассчитанный по асимптотическим значениям $\varepsilon(z)$, т.е. по формуле $\text{tg } \theta_B = \sqrt{\varepsilon_2/\varepsilon_1}$. Тогда $V_0(-\infty) = 0$ и, согласно равенству (21), будет $R_p = V_1^2(-\infty)$. Расчет на основе выражения (17) с подстановками (15) и (5) и с последующим алгебраическим преобразованием приводит к следующей формуле:

$$R_B = \left\{ \frac{\pi}{\lambda \sqrt{\varepsilon_1 + \varepsilon_2}} \int_{-\infty}^{+\infty} \left[\varepsilon_1 + \varepsilon_2 - \varepsilon(z) - \frac{\varepsilon_1 \varepsilon_2}{\varepsilon(z)} \right] dz \right\}^2, \quad (27)$$

где $\lambda = 2\pi c/\omega$ — длина зондирующей электромагнитной волны в вакууме. Отметим, что подынтегральная функция имеет нулевые асимптотические значения и существенно отлична от нуля только внутри переходного слоя. При этом коэффициент отражения будет связан с толщиной слоя квадратичной зависимостью.

Формулы (22) и (3) удобно использовать в качестве теоретической основы при анализе экспериментальных характеристик отражения от подложек с поверхностным слоем. При этом аппроксимирующие профили диэлектрической проницаемости можно задавать в виде аналитических зависимостей $\varepsilon(z)$.

При выводе выражения (22) было наложено ограничение на толщину слоя. Для однородного слоя это ограничение выражается неравенством, приведенным во Введении $2\pi d \sqrt{\varepsilon_{tr}}/\lambda < 1$. В общем случае аналогичное неравенство можно получить из неравенства (12): $2\pi d \max\{\sqrt{\varepsilon(z)}\}/\lambda < 1$. Из-за множителя $2\pi \max\{\sqrt{\varepsilon(z)}\}$ толщина d будет на один-два порядка меньше, чем длина волны λ . Если значение λ попадает в видимую часть спектра, то d попадает в диапазон 10–100 nm. Влияние слоя такой толщины на коэффициент отражения будет незначительным. Однако для зондирующей волны с p -поляризацией и при ее падении на подложку под углом Брюстера именно благодаря слою появляется отраженная волна. Кроме того, вблизи угла Брюстера малые значения коэффициента

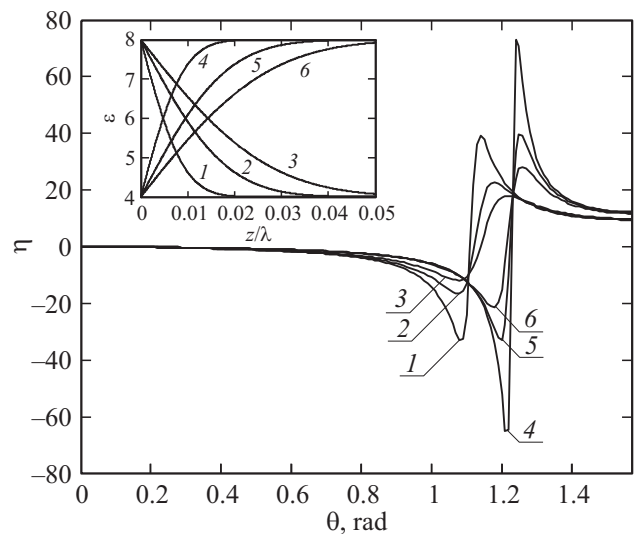


Рис. 3. Функции $\eta(\theta)$, рассчитанные для изображенных на вставке профилей диэлектрической проницаемости $\varepsilon(z)$ с соответствующими номерами. Функции $\varepsilon(z)$ описываются формулой (28). Параметры формулы: $\varepsilon_0 = 8$ и $\varepsilon_2 = 4$ — для кривых 1–3, $\varepsilon_0 = 4$ и $\varepsilon_2 = 8$ — 4–6, $d/\lambda = 0.01$ — 1 и 4, $d/\lambda = 0.02$ — 2 и 5, $d/\lambda = 0.03$ — 3 и 6.

отражения можно преобразовать в большой интервал значений функции $\eta(\theta)$.

На рис. 3 приведены примеры зависимостей $\eta(\theta)$, рассчитанных для различных профилей $\varepsilon(z)$ с помощью выражения (22). Полагалось, что волна распространяется из вакуума ($\varepsilon(z) = 1$ при $z < 0$) в среду с диэлектрической проницаемостью, описываемой формулой ($z \geq 0$)

$$\varepsilon(z) = \varepsilon_0 + (\varepsilon_2 - \varepsilon_0) \left[\frac{2}{\sqrt{\pi}} \int_0^{z/d} \exp(-\xi^2) d\xi \right], \quad (28)$$

где ε_0 — диэлектрическая проницаемость на границе вакуума с переходным слоем ($z = 0$), ε_2 — диэлектрическая проницаемость при $z \rightarrow \infty$, d — параметр, определяющий толщину переходного слоя. Зависимости такого типа описывают, например, распределение примеси, введенной методом диффузии из постоянного источника. Графики на рис. 3 демонстрируют существенное влияние толщины переходного слоя и диэлектрических параметров среды на зависимость $\eta(\theta)$.

При выводе формулы (22) предполагалось, что функция $\varepsilon(z)$ принимает только действительные значения. Выражение (21) справедливо только в этом случае. Учет поглощения приводит к тому, что диэлектрическая проницаемость становится комплексной величиной. При этом $V_0(z)$, $V_1(z)$, $V_2(z)$ тоже становятся комплексными функциями, что существенно усложняет преобразования выражений, составленных из этих функций. Поэтому коэффициент отражения от поглощающей среды, занимающей полупространство $z \geq 0$, проще всего рассчитывать по исходной формуле (13) с подстановками

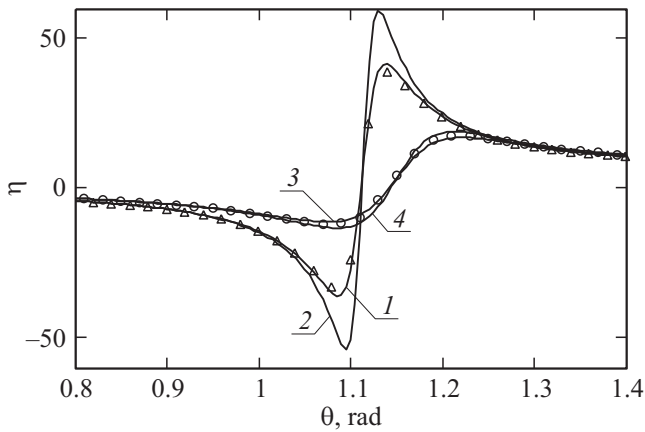


Рис. 4. Функции $\eta(\theta)$, рассчитанные с учетом поглощения и на основе формулы (29) (сплошные линии). Точки, обозначенные символами, рассчитаны без учета поглощения и на основе формулы (22). Профиль $\varepsilon(z)$ задан формулой (28) с $\varepsilon_0 = 8$ и $\varepsilon_2 = 4$. Поглощение учтено множителем $(1 - i \operatorname{tg} \delta)$ со значениями: $\operatorname{tg} \delta = 0.01$ — 1, 3 и $\operatorname{tg} \delta = 0.05$ — 2, 4. Значения параметра d , нормированного на длину волны: $d/\lambda = 0.01$ — 1, 2 и треугольники, $d/\lambda = 0.03$ — 3, 4 и кружки.

выражений (14), (16), (18)

$$R_p = |V_0(0) + iV_1(0) + V_2(0)|^2. \quad (29)$$

На рис. 4 приведены графики функций $\eta(\theta)$ для профилей вида (28), умноженных на $(1 - i \operatorname{tg} \delta)$. Введение такого множителя является способом учета поглощения. Для упрощения анализа координатная зависимость тангенса угла диэлектрических потерь не рассматривалась. Приведены также данные, полученные на основе выражения (22). Их сравнение с „поглощающими“ зависимостями показывает, что для значений $\operatorname{tg} \delta < 0.01$ имеется хорошее согласие между обоими типами расчетов. Аналогичный вывод был сделан и во Введении при рассмотрении модели однородного переходного слоя.

Заключение

Основным результатом настоящей работы является вывод выражений (22) и (25). Выражения обобщают формулы для коэффициентов отражения в модели Друде — модели с однородным переходным слоем. На основе выражений может быть рассчитана функция $\eta(\theta)$, представляющая интерес при определении физических параметров материалов с тонким поверхностным слоем. Учет пространственного распределения диэлектрической проницаемости в слое необходим для достоверной интерпретации результатов измерений, и предложенный подход позволяет осуществлять такой учет в форме аналитических выражений. Например, соотношение (27) в явном виде связывает коэффициент отражения p -поляризованной волны, падающей под углом Брюстера на подложку, с профилем диэлектрической проницаемости

поверхностного слоя. Интегральный вид выведенных выражений позволяет анализировать влияние переходных слоев на отражение, не вводя ограничения на профильное распределение диэлектрической проницаемости. В частности, профиль может быть немонотонным или иметь скачкообразные изменения.

Формулы (22), (25) были выведены для прозрачных сред. Численный анализ показал, что формулы применимы и к слабо поглощающим средам с небольшим значением тангенса угла диэлектрических потерь. Поглощение, как правило, можно не учитывать, если $\operatorname{tg} \delta < 0.01$. При больших значениях тангенса предложенный подход к расчету коэффициента отражения по сути не меняется, усложняются лишь используемые выражения.

Список литературы

- [1] Зинченко С.П., Ковтун А.П., Толмачев Г.Н. // ЖТФ. 2009. Т. 79. Вып. 11. С. 128–133.
- [2] Шварцбург А.Б. // УФН. 2000. Т. 170. Вып. 12. С. 1297–1324.
- [3] Шварцбург А.Б., Агранат М.Б., Чефонов О.В. // Квант. электрон. 2009. Т. 39. Вып. 10. С. 948–952.
- [4] Биленко Д.И., Полянская В.П., Гецьман М.А. и др. // ЖТФ. 2005. Т. 75. Вып. 6. С. 69–73.
- [5] Бабиков В.В. Метод фазовых функций в квантовой механике. М.: Наука, 1976. 286 с.